

3.6 Descrição de Rotações no Plano

3.6.1 Matriz de Rotação

Às vezes temos que descrever a posição de uma partícula num referencial *plano* que é girado de um ângulo ϕ com respeito a outro sistema fixo.

Na álgebra linear aprendemos que uma rotação pode ser descrita por uma transformação linear: $\mathbf{r}' = \mathbf{R} \cdot \mathbf{r}$. O nosso primeiro objetivo é determinar os elementos da matriz do operador de rotação \mathbf{R} .

No sistema de coordenadas fixo $C(O, \mathbf{i}, \mathbf{j})$, o ponto P tem as coordenadas (x, y) . No sistema $C'(O, \mathbf{i}', \mathbf{j}')$ as coordenadas do mesmo ponto são (x', y') . O sistema C' , girado de um ângulo ϕ , tem a mesma origem que C . ϕ indica o ângulo que o semi-eixo positivo x' forma com o semi-eixo positivo x .

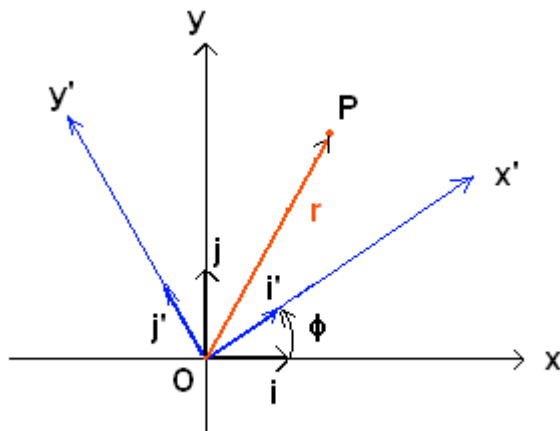


Fig. 3.6-1

A representação matricial de \mathbf{R} encontramos por meio dos produtos escalares dos vetores unitários:

$$\mathbf{i} \cdot \mathbf{i}' = \cos \phi, \quad \mathbf{j} \cdot \mathbf{j}' = \cos \phi, \quad \mathbf{i} \cdot \mathbf{j}' = \cos(\phi + \pi/2) = -\sin \phi, \quad \mathbf{j} \cdot \mathbf{i}' = \cos(\pi/2 - \phi) = \sin \phi$$

Agora, $\mathbf{r} = x\cdot\mathbf{i} + y\cdot\mathbf{j} = x'\cdot\mathbf{i}' + y'\cdot\mathbf{j}'$. Multiplicando \mathbf{r} por \mathbf{i}' e \mathbf{j}' , obtemos $x' = \mathbf{i}' \cdot \mathbf{r}$ e $y' = \mathbf{j}' \cdot \mathbf{r}$ e substituindo \mathbf{r} por $x\cdot\mathbf{i} + y\cdot\mathbf{j}$, teremos $x' = \mathbf{i}' \cdot (x\cdot\mathbf{i} + y\cdot\mathbf{j}) = x\cdot\mathbf{i}'\cdot\mathbf{i} + y\cdot\mathbf{i}'\cdot\mathbf{j} = x\cdot\cos\varphi + y\cdot\sin\varphi$ e $y' = \mathbf{j}' \cdot (x\cdot\mathbf{i} + y\cdot\mathbf{j}) = x\cdot(-\sin\varphi) + y\cdot\cos\varphi$. Temos, então:

$$\begin{aligned} x' &= x\cdot\cos\varphi + y\cdot\sin\varphi \\ y' &= x\cdot(-\sin\varphi) + y\cdot\cos\varphi \end{aligned} \quad (1)$$

Este resultado podemos escrever em forma matricial:

$$\begin{pmatrix} x' \\ y' \end{pmatrix} = \begin{pmatrix} \cos\varphi & \sin\varphi \\ -\sin\varphi & \cos\varphi \end{pmatrix} \cdot \begin{pmatrix} x \\ y \end{pmatrix} \quad (2)$$

A matriz de rotação \mathbf{R} tem, então, a forma:

$$\mathbf{R} = \begin{pmatrix} \cos\varphi & \sin\varphi \\ -\sin\varphi & \cos\varphi \end{pmatrix} \quad (3)$$

Analogamente podemos calcular (x,y) em função dos (x',y') : Multiplicando \mathbf{r} por \mathbf{i} e \mathbf{j} e substituindo \mathbf{r} por $x'\cdot\mathbf{i}' + y'\cdot\mathbf{j}'$, temos

$$x = x'\cdot\cos\varphi + y'\cdot(-\sin\varphi) \text{ e } y = x'\cdot\sin\varphi + y'\cdot\cos\varphi \quad (4)$$

Outra maneira para chegar as relações (4), seria a solução das equações (1) com respeito a x e y . É possível fazer isso a mão, o, se isso for difícil de mais, com ajuda de MuPAD:

Programa 1:

```
sol:=linsolve({x1=x*cos(f)+y*sin(f),y1=-x*sin(f)+y*cos(f)},  
{x,y}):  
simplify(%)
```

[$x = x_1 \cdot \cos(f) - y_1 \cdot \sin(f)$, $y = y_1 \cdot \cos(f) + x_1 \cdot \sin(f)$]

Também pode-se usar a matriz inversa na equação $\mathbf{r} = \mathbf{R}^{-1} \cdot \mathbf{r}'$:

Programa 2:

```

• reset() :

mat:=Dom::Matrix():export(linalg):
R:=mat([[cos(fi),sin(fi)],[ -sin(fi),cos(fi)]]):
r1:=mat([x1,y1]):
r:=R^(-1)*r1:
x:=simplify(r[1]):
y:=simplify(r[2]):

x1 cos(fi) - y1 sin(fi)
y1 cos(fi) + x1 sin(fi)

```

3.6.2 Aplicações

Nas aplicações queremos muitas vezes girar o ponto P e manter o sistema de coordenadas fixo. Em tal caso temos $x' = r \cos(\alpha + \varphi) = r \cos \alpha \cos \varphi - r \sin \alpha \sin \varphi$, sendo α o ângulo que o vetor \mathbf{r} faz com o eixo-x. O vetor \mathbf{r}' faz o ângulo $\alpha + \varphi$ com este eixo. Mas $r \cos \alpha = x$ e $r \sin \alpha = y$. Então: $x' = x \cos \varphi - y \sin \varphi$.

Analogamente: $y' = r \sin(\alpha + \varphi) = y \cos \varphi + x \sin \varphi$. A matriz de rotação de um ponto P de um ângulo φ -no sentido anti-horário- é, então,

$$R_P = \begin{pmatrix} \cos \varphi & -\sin \varphi \\ \sin \varphi & \cos \varphi \end{pmatrix} \quad (5)$$

(A rotação anti-horária de um vetor-posição corresponde a uma rotação do sistema de coordenadas no sentido horário. R_P é a matriz inversa da (2) e é obtida, neste caso, substituindo φ por $-\varphi$.)

Com o **Programa 3** podemos ilustrar a rotação do ponto (x,y) de um ângulo φ , no caso 35° anti-horário, -note também a aplicação de **ViewingBox**:

Programa 3:

```

• reset()://rotação de um ponto ou uma seta em torno de (0,0)
  fi:=35*PI/180:
  x:=3:y:=5:
  mat:=Dom::Matrix():export(linalg):
  R:=mat([[cos(fi),-sin(fi)],[sin(fi),cos(fi)])]:
  r:=mat([x,y]):
  r1:=R*r://equação da transformação
  x1:=float(r1[1]):
  y1:=float(r1[2]):
  ar:=plot::Arrow2d([0,0],[x,y],Color=RGB::Blue):
  ar1:=plot::Arrow2d([0,0],[x1,y1],Color=RGB::Red):
  plot(ar,ar1,ViewingBox=[-6..6,0..8],Scaling=Constrained)
-0.4104260489
5.81648953

```

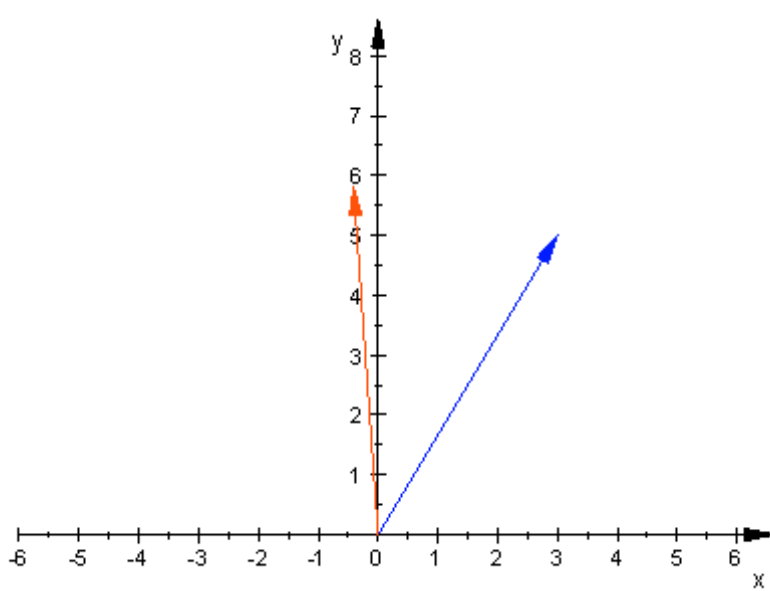


Fig. 3.6-2

MuPAD tem a função **Transform2d** que simplifica um pouco o programa 3 e que é bastante útil quando se quer transformar *varios* objetos, utilizando a função **plot::Scene2d**. No próximo programa 4 fazemos uso de **Transform2d**. Desafortunadamente, não é possível usar a função **Color=RGB** junto com a instrução **Transform2d**, o que tem por consequência que o objeto transformado é representado da mesma cor que o original, no caso, vermelho.

Programa 4:

```

• reset():
fi:=35*PI/180:
x:=3:y:=5:
R := matrix([[cos(fi), -sin(fi)], [sin(fi), cos(fi)]]):
ar := plot::Arrow2d([0, 0], [x, y], Color = RGB::Red):
ar1:= plot::Transform2d(R,ar):
plot(ar,ar1,Scaling = Constrained, Layout = Vertical);

```

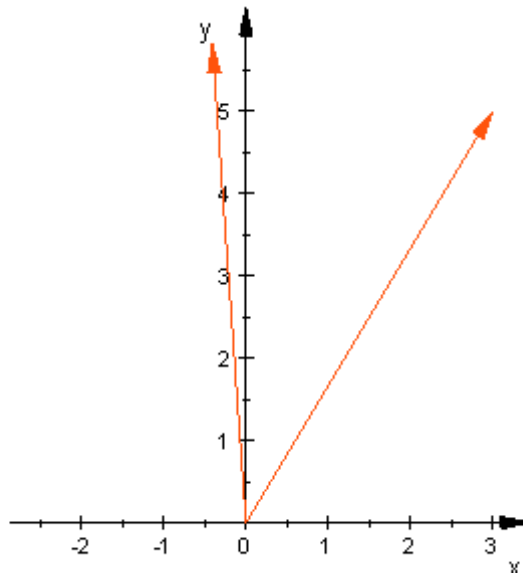


Fig. 3.6-3

Com a instrução `ar1::Matrix2d(R)` podemos ver a forma da matriz R assim como com `a:=float(R)`. Mas, a forma do resultado produzido por `float(R)` é muito mais intuitivo. Isso é fortemente ilustrado no caso dos 30 grados, sem uso de `float`.

- `a:=float(R);`
- `a1:=ar1::Matrix2d(R)`

$$\begin{pmatrix} 0.8191520443 & -0.5735764364 \\ 0.5735764364 & 0.8191520443 \end{pmatrix}$$

[0.8191520443, -0.5735764364, 0.5735764364, 0.8191520443]

Rotação de 30°:

- `a:=R;`
- `a1:=ar1::Matrix2d(R)`

$$\begin{pmatrix} \frac{\sqrt{3}}{2} & -\frac{1}{2} \\ \frac{1}{2} & \frac{\sqrt{3}}{2} \end{pmatrix}$$

[0.8660254038, -0.5, 0.5, 0.8660254038]

Se o vetor \mathbf{r} começa no ponto $P_0 = (x_0, y_0)$ e termina em $P = (x, y)$, temos uma rotação do vetor P_0P em torno do ponto P_0 . A transformação se escreve, neste caso, como

$\mathbf{r}' = R(\mathbf{r} - \mathbf{r}_0) + \mathbf{r}_0$, pois é o vetor $\mathbf{r} - \mathbf{r}_0$ o que gira ao redor de P_0 .

O programa 5 mostra este caso.

Programa 5:

- `reset() // rotação de uma seta ao redor de p0`
- `fi:=35*PI/180:`
- `x:=3:y:=5:`

```

x0:=-2:y0:=2:
mat:=Dom::Matrix():export(linalg):
R:=mat([[cos(fi),-sin(fi)],[sin(fi),cos(fi)])]:
r:=mat([x,y]):
r0:=mat([x0,y0]):
r1:=R*(r-r0)+r0:
x1:=float(r1[1]):
y1:=float(r1[2]):
ar:=plot::Arrow2d([x0,y0],[x,y],Color=RGB::Blue):
ar1:=plot::Arrow2d([x0,y0],[x1,y1],Color=RGB::Red):
plot(ar,ar1,ViewingBox=[-6..6,0..8],Scaling=Constrained)

```

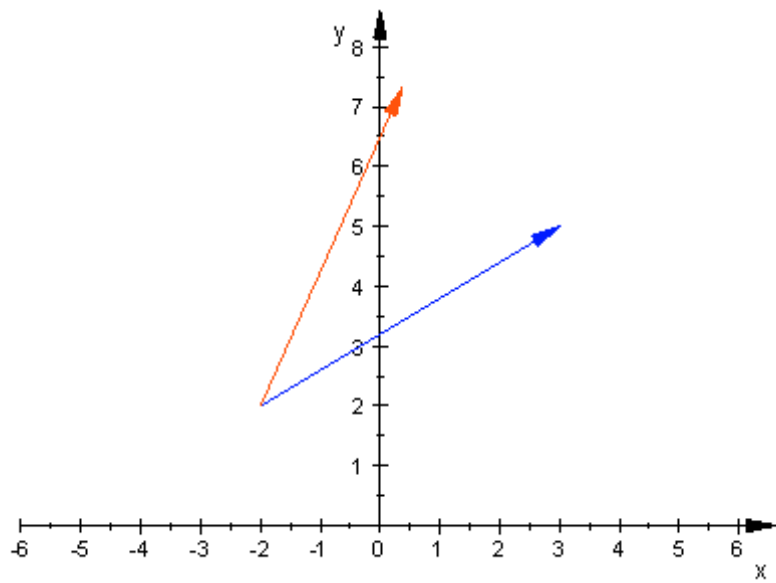


Fig. 3.6-4

No seguinte Programa 6 fazemos uso da função `plot::Scene2d`, para representar a transformação de três vetores.

Com `Layout = Vertical` obtemos os resultados da transformação verticalmente debaixo do gráfico dos vetores originais.

Programa 6:

```

• reset():
fi:=35*PI/180:

R := matrix([[cos(fi), -sin(fi)], [sin(fi), cos(fi)]]):
x1 := plot::Arrow2d([0, 0], [3, 5], Color = RGB::Red):
x2 := plot::Arrow2d([0, 0], [-3, 1], Color = RGB::Green):
x3 := plot::Arrow2d([0, 0], [2, -5], Color = RGB::Blue):
plot(plot::Scene2d(x1, x2, x3),
plot::Scene2d(plot::Transform2d(R,x1,x2,x3),
Scaling = Constrained, Layout = Vertical));

```

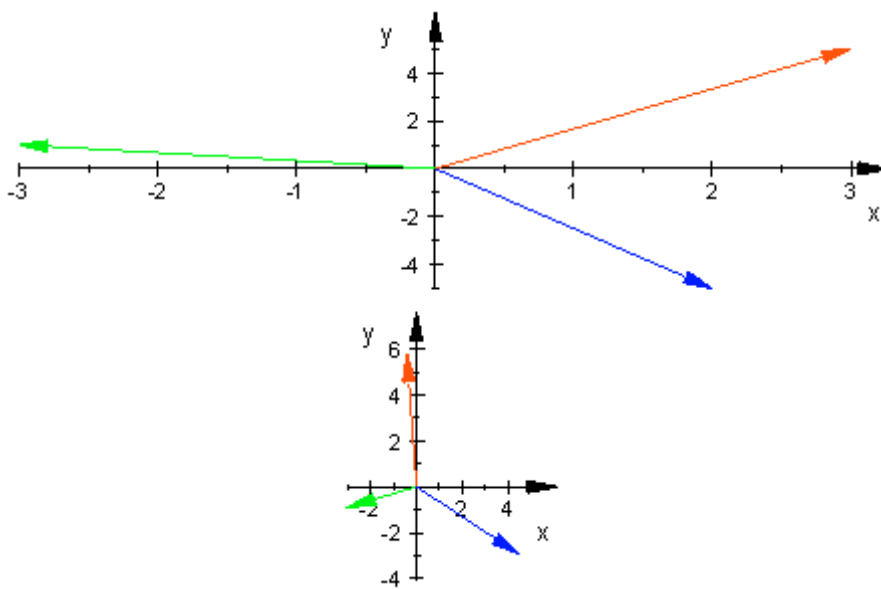


Fig. 3.6-5

No último programa vemos a rotação de um polígono por meio da função **plot::Polygon2d**. Sem esta função, deveríamos colocar pontos no gráfico e conectá-los por meio de linhas. Informação sobre este procedimento, e também sobre transformações em geral, pode-se obter no site:

<http://www.mupad.de/schule/literatur/index.shtml>, -infelizmente em alemão.

Programa 7:

```
fi:=35*PI/180:
x:=3:y:=5:
R := matrix([[cos(fi), -sin(fi)], [sin(fi), cos(fi)]]):
ar := plot::Arrow2d([0, 0], [x, y], Color = RGB::Blue):
pol:=plot::Polygon2d([[0,0],[x,y],[x-5,y-3],[0,0]],
Color = RGB::Red):
pol1:= plot::Transform2d(R,pol,ar):
plot(ar,pol,pol1,Scaling = Constrained, Layout = Vertical);
```

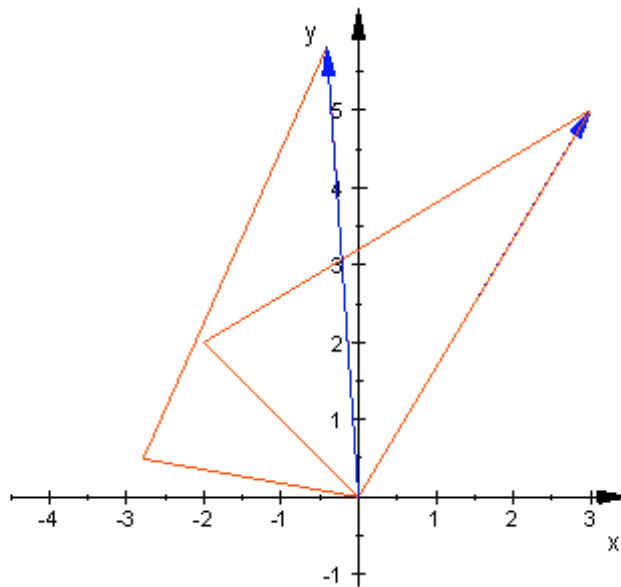


Fig. 3.6-6

3.6.3 Descrição de rotações por meio de números complexos.

Os números complexos proporcionam outra maneira de descrever uma rotação no plano, pois este pode ser considerado como o plano dos números complexos. Ao número complexo $z = x + i y$ corresponde o ponto P, tendo este as coordenadas retangulares (x, y) no sistema fixo C. Sendo $x = r \cos \varphi$, $y = r \sin \varphi$ e $r = (x^2 + y^2)^{1/2}$, resulta $z = x + i y = r(\cos \varphi + i \sin \varphi)$. $r = |z|$ é o módulo de z .

No sistema girado C' , a representação de P é $z' = x' + i y'$. Ambos os números têm o mesmo módulo $r = (x^2 + y^2)^{1/2}$, mas, o argumento (= ângulo) de z' é de φ graus menor do que o argumento de z . (Os ângulos terão valores positivos quando medidos no sentido anti-horário, e serão expressos em radianos -a menos de especificação em contrário.)

$e^{i\varphi} = \cos \varphi + i \cdot \sin \varphi$ é a fórmula de Euler (1707-1783) que podemos considerar como definição de $e^{i\varphi}$. Com esta definição podemos escrever o número complexo z na forma exponential (forma polar): $z = r \cdot e^{i\varphi}$. O ângulo φ podemos calcular como $\varphi = \arctan(y/x)$, arco tangente de (y/x) .

Entre z e z' existe, então, a relação $z' = z \cdot e^{-i\varphi}$ ou $z = z' \cdot e^{i\varphi}$. Usando coordenadas retangulares, escreve-se

$$x' + i y' = (x + i y) \cdot (\cos \varphi - i \sin \varphi) \quad (6)$$

Esta equação contém as duas equações reais (1):

$$\begin{aligned} x' &= x \cos \varphi + y \sin \varphi \\ y' &= -x \sin \varphi + y \cos \varphi \end{aligned} \quad (7)$$

Com uma mudança do expoente na fórmula de Euler, por exemplo $\varphi = \omega t$, pode-se escrever

$$e^{i\omega t} = \cos(\omega t) + i \sin(\omega t) \quad (8)$$

As derivadas primeira e segunda de $z = z' \cdot e^{i\omega t}$ são

$$dz/dt = dz'/dt \cdot e^{i\omega t} + i\omega z' \cdot e^{i\omega t}$$

$$d^2z/dt^2 = d^2z'/dt^2 \cdot e^{i\omega t} + 2i\omega dz'/dt \cdot e^{i\omega t} - \omega^2 z' \cdot e^{i\omega t}$$

Em notação real, obtém-se, para um observador no sistema C', as acelerações

$$\begin{aligned} \frac{d^2x'}{dt^2} &= a'_x + 2\omega \frac{dy'}{dt} + \omega^2 x' \\ \frac{d^2y'}{dt^2} &= a'_y - 2\omega \frac{dx'}{dt} + \omega^2 y' \end{aligned} \quad (9)$$

Isso é um sistema de duas equações diferenciais acopladas.

a'_x e a'_y são as acelerações devidas a interações com outros corpos, por exemplo, com o chão de uma plataforma por meio do atrito.

Na próxima seção aplicaremos estas equações no caso do movimento numa plataforma girante (carrossel). Para simplificar a escrita, escrevemos as equações (9) no futuro sem acentos, se não existe perigo de confusão.

Os números complexos são, também, de grande utilidade na descrição de movimentos oscilatórios. Na próxima seção e no capítulo 6 vamos voltar aos números complexos para facilitar o trabalho na busca de soluções de certas equações diferenciais.

3.6.4 Números complexos com MuPAD

MuPAD aceita também os números complexos, mas, note, que a unidade imaginária i deve ser escrita em forma de maiúscula: $(-1)^{1/2} = I$.

Veja primeiro alguns exemplos básicos: adição, subtração, multiplicação e divisão. O módulo de z calcula-se com **abs(z)**, o argumento com **arg(z)** e o conjugado de z com **conjugate(z)**.

Você pode estudar as noções básicas sobre números complexos no seguinte site:

<http://pessoal.sercomtel.com.br/matematica/medio/213/ncomplex.htm>

- **reset():**
grau:=180/PI:
z1:=-0.5-0.866*I:
z2:=-1 +I:
z1+z2:
z1-z2:
p:=z1*z2;
q:=z1/z2;
float(arg(z1)*grau);
float(arg(z2)*grau);
abs(z1),abs(z2),abs(p),abs(q)

```
1.366 + 0.366 I
- 0.183 + 0.683 I
-120.0007278
135.0
1/2

0.9999779998, 2 , 1.414182449, 0.7070912247
```

A função **solve** funciona também quando o conjunto solução de uma **equação algébrica** consta somente de números complexos. Veja os seguintes exemplos:

- **solve(8*x^2+12*x+10=0,x)**

$$\left\{ -\frac{i}{4} \cdot \sqrt{11} - \frac{3}{4}, \frac{i}{4} \cdot \sqrt{11} - \frac{3}{4} \right\}$$

Ao tentar obter o conjunto solução para esta equação sobre o conjunto dos números reais, obteremos como resposta o conjunto vazio, isto é $S = \emptyset = \{ \}$:

- **assume(x,Type::Real):**
solve(x^2-3*x+7=0,x)

\emptyset

Se buscarmos o conjunto solução sobre o conjunto dos números complexos, obtemos

```
assume(x,Type::Complex) :
solve(x^2-3*x+7=0,x)
```

$$\left\{ \frac{3}{2} - \frac{i}{2}\sqrt{19}, \frac{3}{2} + \frac{i}{2}\sqrt{19} \right\}$$

No próximo caso obtemos o conjunto solução completo:

- `solve(6*z^4-25*z^3+32*z^2+3*z-10=0, z)`

$$\left\{ -\frac{1}{2}, \frac{2}{3}, 2 - i, 2 + i \right\}$$

Se querermos só as soluções reais, temos que escrever:

- `assume(z,Type::Real) :
solve(6*z^4-25*z^3+32*z^2+3*z-10=0, z)`

$$\left\{ -\frac{1}{2}, \frac{2}{3} \right\}$$

Para calcular a forma polar de um número complexo $z = x + iy$, utilizamos as relações $z = r \cdot e^{i\varphi}$, onde $r = (x^2 + y^2)^{1/2}$ e $\varphi = \arctan(y/x)$ ou $\varphi = \arg(z)$:

Exemplos:

- `z:=2+2*sqrt(3)*I:
x:=Re(z):y:=Im(z):
arctan(y/x);
arg(z)`

$$\frac{\pi}{3} \quad \frac{\pi}{3}$$

- `z:=-3-4*I:
abs(z)*exp(I*arg(z))`

$$-5 \cdot e^{i \cdot \arctan\left(\frac{4}{3}\right)}$$

- `z:=2+I:`
`abs(z)*exp(I*arg(z))`

$$e^{i \cdot \arctan\left(\frac{1}{2}\right)} \cdot \sqrt{5}$$

Veja também o seguinte exemplo, onde usamos a função `rectform` que proporciona sempre a forma $z = x + y i$ em coordenadas retangulares -daí o nome. As funções `simplify` e `Simplify` têm, neste caso, o mesmo efeito. A nova função `Simplify` parece ser, em geral, mais potente do que a velha `simplify`.

- `((1+sqrt(3)*I)/(1-sqrt(3)*I))^10`

$$\frac{(i \cdot \sqrt{3} + 1)^{10}}{(i \cdot \sqrt{3} - 1)^{10}}$$

- `Simplify(%)`

$$\frac{i}{2} \cdot \sqrt{3} - \frac{1}{2}$$

- `((1+sqrt(3)*I)/(1-sqrt(3)*I))^10`

`rectform(%)`

$$-\frac{1}{2} + i \cdot \frac{\sqrt{3}}{2}$$

